

# Применение метода моментов для компенсации aberrаций волнового фронта

П. А. Хорин<sup>1,2</sup>, С. Г. Волотовский<sup>2</sup>, П.А. Вечканова<sup>1</sup>, С. Н. Хонина<sup>1,2</sup>

<sup>1</sup> Самарский национальный исследовательский университет им. академика С.П. Королева  
Самара, Россия

<sup>2</sup> Институт систем обработки изображений РАН – филиал ФНИЦ «Кристаллография и фотоника» РАН, Самара, Россия

Реализован метод моментов для алгоритмизации компенсации aberrаций на основе применения дифракционного оптического элемента, согласованного с базисом функций Цернике. В качестве функционала предложено использование второго центрального момента интенсивности фокального изображения. Проведено исследование второго центрального момента для суперпозиции aberrаций. Показано, что достижение эталонного значения второго момента может служить признаком окончания компенсации aberrации.

*Ключевые слова:* Волновые aberrации, Метод моментов, Компенсация, Дифракционная оптика.

*Цитирование:* Хорин, П. А. Применение метода моментов для компенсации aberrаций волнового фронта / П. А. Хорин, С. Г. Волотовский, П. А. Вечканова, С. Н. Хонина // HOLOEXPO 2023: 20-я Международная конференция по голографии и прикладным оптическим технологиям : Тезисы докладов. — СПб.: Изд-во СПбГЭТУ «ЛЭТИ», 2023. — С. 86–98.

## Введение

Детектирование, идентификация и компенсация aberrаций волнового фронта востребованы в различных приложениях, включая коррекцию зрения [1], улучшение изображающих систем мобильных устройств [2], оптических микроскопов и телескопов [3], оптических систем дистанционного зондирования Земли [4], моделировании и анализе передачи оптической информации в турбулентной среде [5].

Датчик волнового фронта является одним из основных элементов адаптивной системы корректировки лазерного излучения. Его задача – измерять aberrации волнового фронта и передавать результаты этих измерений на обрабатывающее устройство.

Например, волновой фронт светового поля может быть восстановлен по интерферограмме [6], методом Гартмана-Шака [7], визуализации фазы на основе преобразования пространственного спектра [8], адаптивными подходами в совокупности с интеллектуальным анализом данных [9].

Однако представленные методы прямым образом не измеряют величину и тип aberrации, а измеряют форму волнового фронта. Детектирование и измерение aberrации впервые предложено в работе [10] на основе использования многоканального дифракционного оптического элемента (ДОЭ) [11], согласованного с базисом функций Цернике [12]. Ещё один метод, который позволяет прямым образом рассчитать величину aberrации основан на голографическом оптическом элементе (ГОЭ) [13], а также на основе ДОЭ, согласованном с фазовыми распределениями в виде функций Цернике [14].

Каждый из методов имеет ряд достоинств и недостатков: ДОЭ, согласованный с базисом функций Цернике, позволяет точно и безошибочно детектировать только слабые aberrации до  $0,32\lambda$  [11]; использование голографического мультиплекса приводит к сильному и неизбежному перекрестному шуму, что затрудняет обработку полученной информации [15]; а ДОЭ согласованный с фазовыми распределениями в виде функций Цернике позволяет детектировать aberrации в широком диапазоне, но требует использования итерационного алгоритма с цифровой обработкой информации [16].

Рассмотренный в данной работе метод моментов актуален для использования с многоканальными ДОЭ, согласованными как с базисом функций Цернике, так и с фазовыми распределениями. Предложенный метод компенсации aberrаций волнового фронта позволяет упростить потенциальную аппаратную реализацию нового типа датчика волнового фронта за счёт замены сложной цифровой обработки изображения фокального распределение интенсивности в каждом из дифракционных порядков на расчёт центральных моментов.

## 1. Теоретические основы

В данной работе рассматриваются функции Цернике в следующем виде [12[12]]:

$$Z_{nm}(r, \varphi) = A_{nm} R_n^m(r) S_m(\varphi), \quad (1)$$

где  $R_n^m(r)$  – радиальные полиномы Цернике,  $A_{nm}$  – нормирующий коэффициент,  $S_m(\varphi)$  – азимутальная составляющая:

$$R_n^m(r) = \sum_{k=0}^{\frac{n-m}{2}} \frac{(-1)^k (n-k)!}{k! \left(\frac{n+m}{2} - k\right)! \left(\frac{n-m}{2} - k\right)!} r^{n-2k}, \quad (2)$$

$$A_{nm} = \begin{cases} \sqrt{2n+2}, m \neq 0 \\ \sqrt{n+1}, m = 0 \end{cases}, \quad (3)$$

$$S_m(\varphi) = \begin{cases} 1, m = 0 \\ \cos(m\varphi), m > 0 \\ \sin(m\varphi), m < 0 \end{cases}. \quad (4)$$

Пусть входное  $F_0(r, \varphi)$  поле задано следующим соотношением:

$$F_0(r, \varphi) = A(r, \varphi) \exp[2\pi i S_0(r, \varphi)], \quad (5)$$

где исходная суперпозиция aberrаций имеет следующий вид:

$$S_0(r, \varphi) = \sum_{n=0}^N \sum_{m=-n}^n C_{nm} Z_{nm}(r, \varphi), \quad (6)$$

а компенсирующая суперпозиция представима, как:

$$S_1(r, \varphi) = \sum_{p=0}^P \sum_{q=-p}^p D_{pq} Z_{pq}(r, \varphi). \quad (7)$$

После прохождения модулятора (ДОЭ) входное поле преобразуется следующим образом:

$$F_1(r, \varphi) = F_0(r, \varphi) \exp[-2\pi i S_1(r, \varphi)], \quad (8)$$

$$F_1(r, \varphi) = A(r, \varphi) \exp[2\pi i (S_0(r, \varphi) - S_1(r, \varphi))]. \quad (9)$$

Интенсивность фокального поля для исходного поля  $F_0(r, \varphi)$  представимо через преобразование Фурье (обозначено символом  $\mathfrak{F}$ ):

$$G(x, y) = |\mathfrak{F}[F_1(x, y)]|^2. \quad (10)$$

Тогда сумма горизонтального и вертикального вторых центральных моментов для изображения  $G(x, y)$  (далее «момент») имеет следующий вид:

$$F[G(x, y)] = \sum_{i=0}^I \sum_{j=0}^J G(x_i, y_j) ((x_i - x_0)^2 + (y_j - y_0)^2), \quad (11)$$

где  $(x_0, y_0)$  – математическое ожидание для  $G(x, y)$ .

Стоит отметить, что в случае  $S_0(r, \varphi) = S_1(r, \varphi)$  aberrации исходного поля будут компенсированы и момент (11) будет минимальным  $F_{\min}[G(x, y)]$ .

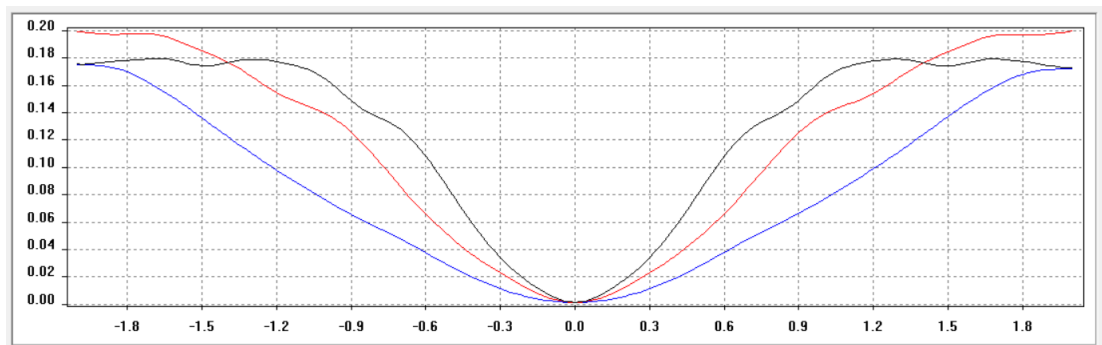
## 2. Численное моделирование

### 2.1 Безабберационное поле

Рассмотрим входное поле  $F_0(r, \varphi)$  у которого исходная суперпозиция aberrаций  $S_0(r, \varphi)$  имеет все коэффициенты  $C_{nm}$  равные 0. Таким образом получим невозмущенное поле с отсутствием aberrаций.

В статье о модах [17[17]] показано, что график функционала при изменении одного параметра показывает интервал сходимости, следовательно, характеризует устойчивость одномерной оптимизации. В данном случае функционалом служит второй центральный момент (11), а параметром служит коэффициент одной из aberrаций.

В ряде численных экспериментов получено распределение интенсивности (10) и значение момента (11) для безабберационного поля после добавления (прохождения модулятора (ДОЭ) с волновой aberrацией) одиночной aberrации разного типа  $(p, q)$  с варьируемым коэффициентом  $D_{pq}$ . Результаты представлены на рис.1 и в таблице 1.



**Рис.1.** График зависимости момента  $F[G(x, y)]$  (11) от величины  $D_{pq}$  и типа  $(p, q)$  добавленной aberrации к невозмущённому входному полю  $F_0(r, \varphi)$ . Обозначения типов aberrаций  $(p, q)$ : (3,1) – синим, (5,1) – красным, (7,1) – чёрным

Графики на рис.1 показывают, что с ростом модуля коэффициента aberrации  $D_{pq}$  значение момента  $F[G(x, y)]$  увеличивается на примере  $Z_{31}, Z_{51}, Z_{71}$ . Стоит отметить, что для aberrаций с большим  $p$  момент увеличивается сильнее.

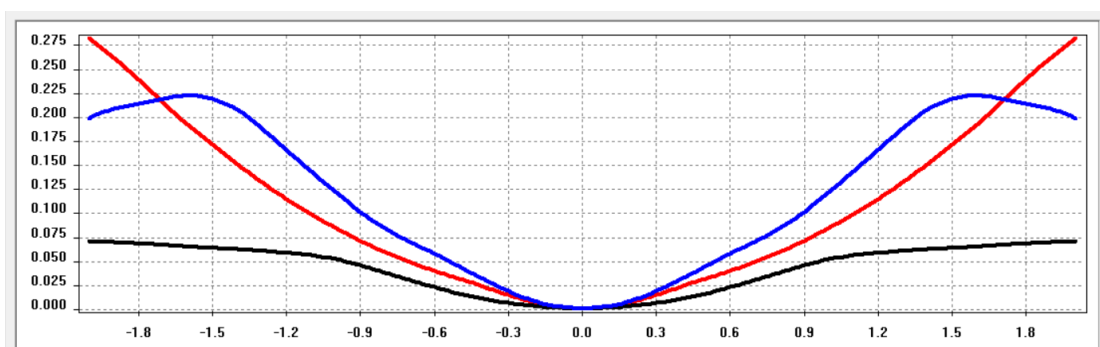
Кроме того, наблюдается нарушение унимодальности (т.е. присутствует несколько локальных экстремумов) для aberrаций типа  $Z_{51}$  и  $Z_{71}$ . Однако, это вызвано с выходом фокального изображения за пределы регистрируемой области, что продемонстрировано изображения интенсивности  $F_1(r, \varphi)$  в таблице 1.

**Таблица 1.** Распределение интенсивности  $F_1(r, \varphi)$  после добавления aberrации величины  $D_{pq}$  и типа  $(p, q)$  к невозмущённому входному полю  $F_0(r, \varphi)$ .

$F_1(r, \varphi)$		$D_{pq}$			
		0,6	0,9	1,2	1,5
$Z_{pq}$	$Z_{31}$				
	$Z_{51}$				
	$Z_{71}$				

В таблице 1 представлена интенсивность  $F_1(r, \varphi)$  в фокальной плоскости при разных параметрах величины  $D_{pq}$  и типа  $(p, q)$  добавленной aberrации. Видно, что изображения aberrаций более высокого порядка  $p$  выходят за пределы области детектирования при больших значениях параметра  $D_{pq}$  и теряют значительную часть энергии.

Аналогичным образом в ряде численных экспериментов получено значение момента для невозмущенного поля с добавлением aberrаций  $Z_{pq}$  по типу сферической ( $Z_{40}$ ) и астигматизма первого ( $Z_{4-2}$ ), второго ( $Z_{4-4}$ ) порядка. Распределение значений момента (11) представлены на рис. 2.



**Рис.2.** График зависимости момента  $F[G(x, y)]$  (11) от величины  $D_{pq}$  и типа  $(p, q)$  добавленной aberrации к невозмущённому входному полю  $F_0(r, \varphi)$ . Обозначения типов aberrаций  $(p, q)$ : (4,0) – синим, (4,-2) – красным, (4,-4) – чёрным

Получено, что для aberrаций с меньшим меридиальным индексом  $q$  добавленной aberrации  $Z_{pq}$  момент  $F[G(x, y)]$  увеличивается сильнее. Кроме того, наблюдается появление нескольких локальных экстремумов. Причина нарушения унимодальности графиков связана с выходом фокального изображения за пределы регистрируемой области (аналогичная ситуация представлена в таблице 1).

Таким образом, на основе полученных данных можно сделать следующие выводы, которые распространяются на все виды aberrаций. Для них выполняются следующие свойства:

1) с ростом модуля весового коэффициента  $D_{pq}$  добавленной aberrации момент  $F[G(x, y)]$  увеличивается;

2) нарушение унимодальности графика происходит по причине излишнего увеличения фокального изображения  $F_1(r, \varphi)$  и выхода его за пределы регистрируемой области при больших значениях весового коэффициента  $D_{pq}$ ;

3) минимальное значение момента  $F_{\min}[G(x, y)]$  для невозмущенного исходного поля соответствует нулевому значению весового коэффициента  $D_{pq}$ .

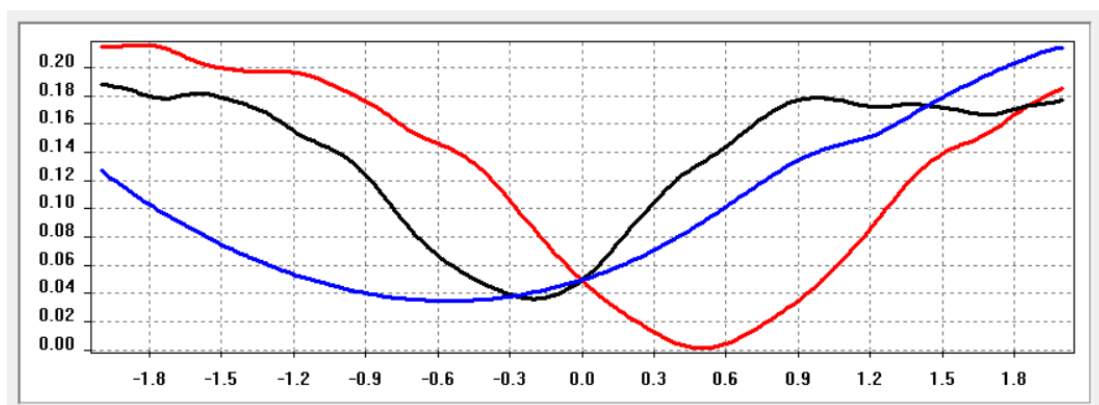
Другими словами, добавление aberrации к невозмущенному полю увеличивает значение функционала (момента) фокального изображения. И тем сильнее, чем больше модуль коэффициента этой aberrации. Стоит отметить, что данное утверждение совпадает с известным фактом, что повышение модуля коэффициента aberrации вызывает увеличение площади ненулевой интенсивности в фокальной плоскости, а стало быть и увеличение значения функционала.

## 2.2 Абerrированное поле с одной aberrацией

Рассмотрим входное поле  $F_0(r, \varphi)$  у которого исходная суперпозиция aberrаций  $S_0(r, \varphi)$  имеет один коэффициент  $C_{nm}$  отличный от 0. Таким образом получим возмущенное поле с одной aberrацией.

Проведём численный эксперимент для **нечётной** aberrации типа кома 2-го порядка  $Z_{51}$  с весовым коэффициентом  $C_{nm} = 0.5$ , тогда  $S_0(r, \varphi) = 0.5Z_{51}$  и  $F_0(r, \varphi) = A(r, \varphi) \exp[2\pi i 0.5Z_{51}]$ . Учитывая (9)  $F_1(r, \varphi) = A(r, \varphi) \exp[2\pi i (0.5Z_{51} - S_1(r, \varphi))]$  и для минимизации момента ( $F_{\min}[G(x, y)] = 0.05$ ) и компенсации aberrации необходимо, чтобы  $S_1(r, \varphi) = 0.5Z_{51}$ .

Получено значение момента (11) для исходного поля  $F_0(r, \varphi)$  с одной aberrацией  $Z_{51}$  с весовым коэффициентом  $C_{nm} = 0.5$  после добавления (с использованием модулятора или ДОЭ) одиночной aberrации разного типа  $(p, q)$  с варьируемым коэффициентом  $D_{pq}$ . Результаты представлены на рис.3.



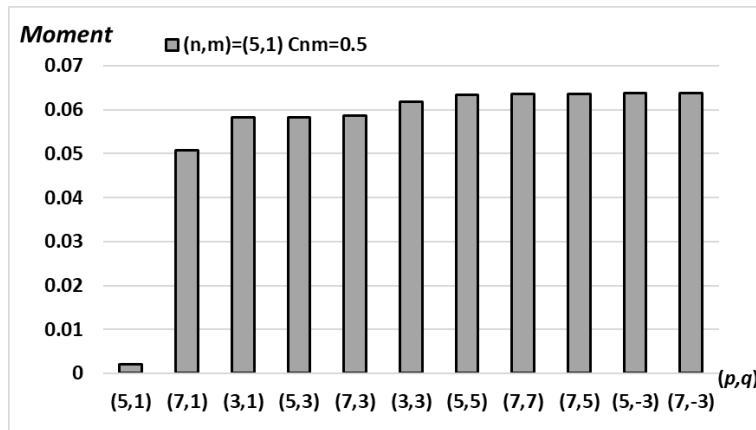
**Рис.3.** График зависимости момента  $F[G(x, y)]$  (11) от величины  $D_{pq}$  и типа  $(p, q)$  добавленной аберрации к возмущённому входному полю  $F_0(r, \varphi)$ . Обозначения типов аберраций  $(p, q)$ :  
 (3,1) – синим, (5,1) – красным, (7,1) – чёрным

На рис. 3 видно, что момент для исходного поля  $F_0(r, \varphi)$  с одной аберрацией  $Z_{51}$  с весовым коэффициентом  $C_{nm} = 0.5$  достигает минимального значения  $F_{\min}[G(x, y)] = 0.002$  после добавления одной аберрации типа  $(p, q) = (5, 1)$  с весовым коэффициентом  $D_{pq} = 0.5$ .

В ряде численных экспериментов определено, что минимальное значение момента при добавлении других аберраций превышает полученное значение  $F_{\min}[G(x, y)] = 0.002$ . Таблица 2 содержит аберрации, уменьшающие момент, их коэффициент и наименьшее значение момента для случая  $S_0(r, \varphi) = 0.5Z_{51}$ . Стоит отметить, что остальные аберрации не уменьшают момента.

**Таблица 2.** Зависимость момента  $F[G(x, y)]$  (11) от величины  $D_{pq}$  и типа  $(p, q)$  добавленной аберрации к возмущённому входному полю  $F_0(r, \varphi)$  в случае  $S_0(r, \varphi) = 0.5Z_{51}$

Аберрация $Z_{pq}$ $(p, q)$	Значение Коэффициента $D_{pq}$	Минимальный Момент $F[G(x, y)]$
(5,1)	0,5000	0,0020
(7,1)	-0,2278	0,0508
(3,1)	-0,3079	0,0583
(5,3)	-0,1654	0,0583
(7,3)	-0,1031	0,0587
(3,3)	-0,2515	0,0618
(5,5)	-0,0882	0,0634
(7,7)	0,0809	0,0636
(7,5)	-0,0496	0,0637
(5,-3)	0,0150	0,0639
(7,-3)	0,0100	0,0639



**Рис.4.** Зависимость минимального момента  $F[G(x, y)]$  (11) от величины  $D_{pq}$  и типа  $(p, q)$  добавленной aberrации к возмущённому входному полю  $F_0(r, \varphi)$  в случае  $S_0(r, \varphi) = 0.5Z_{51}$  (иллюстрация таблицы 2).

Диаграмма на рис.4 показывает, что существуют aberrации, которые уменьшают момент  $F[G(x, y)]$  (11) данной исходной суперпозиции, однако aberrация  $(p, q) = (5, 1)$  с коэффициентом  $D_{pq} = 0.5$  сильнее других уменьшает момент, т.е. aberrация из исходной суперпозиции сильнее всех уменьшает момент.

Стоит отметить, что существуют aberrации, уменьшающие момент данной исходной суперпозиции, не входящие в исходную суперпозицию ( $Z_{51}, Z_{71}, Z_{33}, Z_{53}, Z_{73}$ ), но они уменьшают момент существенно слабее чем  $Z_{51}$ , а именно более чем в 25 раз.

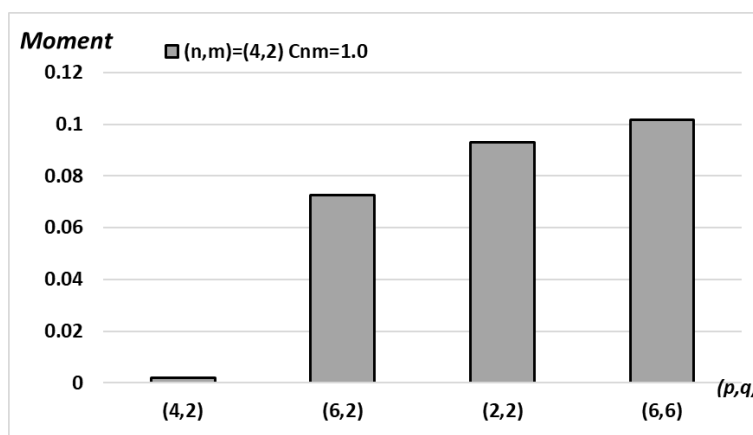
В ряде численных экспериментов определено, что чем больше разность индексов  $(p, q)$  с индексами  $(n, m)$ , тем больше минимальный момент.

Рассмотрим случай для **чётной** aberrации типа астигматизм 2-го порядка  $Z_{42}$  с весовым коэффициентом  $C_{nm} = 1.0$ , тогда  $S_0(r, \varphi) = 1.0Z_{42}$  и  $F_0(r, \varphi) = A(r, \varphi) \exp[2\pi i Z_{42}]$ . Учитывая (9)  $F_1(r, \varphi) = A(r, \varphi) \exp[2\pi i (Z_{42} - S_1(r, \varphi))]$  и для минимизации момента ( $F_{min}[G(x, y)] = 0.1$ ) и компенсации aberrации необходимо, чтобы  $S_1(r, \varphi) = Z_{42}$ .

Получено значение момента (11) для исходного поля  $F_0(r, \varphi)$  с одной aberrацией  $Z_{42}$  с весовым коэффициентом  $C_{nm} = 1.0$  после добавления (с помощью модулятора или ДОЭ) одиночной aberrации разного типа  $(p, q)$  с варьируемым коэффициентом  $D_{pq}$ . Результаты представлены в таблице 3, в которой содержится информация об aberrациях, уменьшающих момент, их коэффициент и наименьшее значение момента (остальные aberrации не уменьшают момента).

**Таблица 3.** Зависимость момента  $F[G(x,y)]$  (11) от величины  $D_{pq}$  и типа  $(p,q)$  добавленной aberrации к возмущённому входному полю  $F_0(r, \varphi)$  в случае  $S_0(r, \varphi)=Z_{42}$

Аберрация $Z_{pq}$ $(p,q)$	Значение коэффициента $D_{pq}$	Минимальный момент $F[G(x,y)]$
(4,2)	1,0000	0,0020
(6,2)	-0,4312	0,0725
(2,2)	-1,0937	0,0930
(6,6)	-0,4375	0,1019



**Рис. 5.** Зависимость минимального момента  $F[G(x,y)]$  (11) от величины  $D_{pq}$  и типа  $(p,q)$  добавленной aberrации к возмущённому входному полю  $F_0(r, \varphi)$  в случае  $S_0(r, \varphi)=Z_{42}$  (иллюстрация таблицы 3).

Диаграмма на рис. 5 показывает, что минимальное значение момента  $F[G(x,y)]$  (11) для данной исходной суперпозиции достигается при добавлении волновой aberrация  $Z_{42}$  с коэффициентом  $D_{pq}=1,0$ , т.е. aberrация из исходной суперпозиции сильнее всех уменьшает момент.

Стоит отметить, что существуют aberrации, уменьшающие момент данной исходной суперпозиции, не входящие в исходную суперпозицию ( $Z_{62}$ ,  $Z_{22}$ ,  $Z_{66}$ ), но они уменьшают момент существенно слабее чем  $Z_{42}$ , а именно более чем в 36 раз.

Аналогичным образом определено, что чем больше разность индексов  $(p,q)$  с индексами  $(n,m)$ , тем больше минимальный момент.

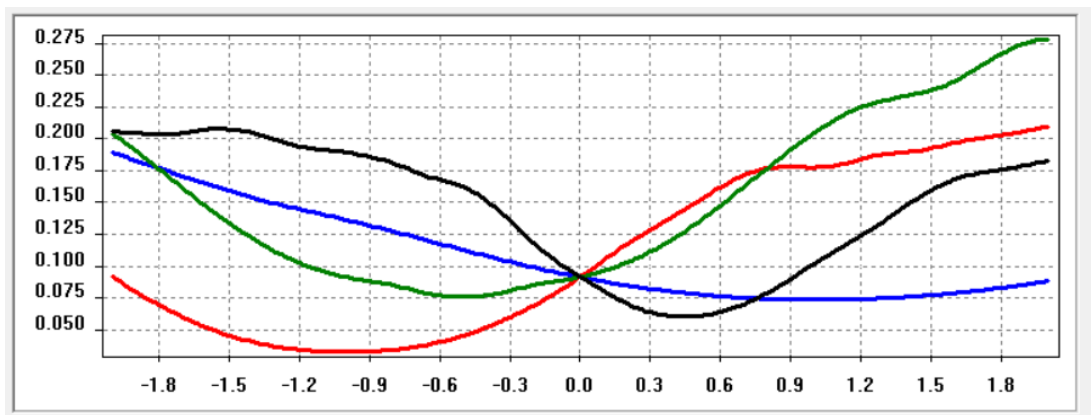
Таким образом для исходной исходного поля  $F_0(r, \varphi)$  с одной **чётной** или **нечётной** aberrацией  $Z_{nm}$  верно утверждение, что существует целый набор aberrаций  $S_1(r, \varphi) = D_{pq}Z_{pq}$  с разными  $(p,q)$ , каждая из которых уменьшает момент  $F[G(x,y)]$ , но aberrация из исходной суперпозиции  $S_1(r, \varphi) = C_{nm}Z_{nm}$  позволяет достигнуть минимальное значение момента  $F_{\min}[G(x,y)] = 0.002$ .



### 2.3 Аберрированное поле с несколькими аберрациями

Рассмотрим входное поле  $F_0(r, \varphi)$  у которого исходная суперпозиция аберраций  $S_0(r, \varphi)$  имеет несколько коэффициентов  $C_{nm}$  отличных от 0. Таким образом получим возмущенное поле суперпозицией аберраций.

Рассмотрим случай для суперпозиции двух аберрации: кома 1-го порядка  $Z_{31}$  с весовым коэффициентом  $C_{31} = -1.0$  и астигматизм 2-го порядка  $Z_{42}$  с весовым коэффициентом  $C_{42} = -0.5$ . Тогда исходная суперпозиция представима, как  $S_0(r, \varphi) = -Z_{31} - 0.5Z_{42}$ , следовательно,  $F_0(r, \varphi) = A(r, \varphi) \exp[2\pi i(-Z_{31} - 0.5Z_{42})]$ . Учитывая (9)  $F_1(r, \varphi) = A(r, \varphi) \exp[2\pi i(-Z_{31} - 0.5Z_{42} - S_1(r, \varphi))]$  и для минимизации момента ( $F_{null}[G(x, y)] = 0.1$ ) и компенсации аберрации необходимо, чтобы  $S_1(r, \varphi) = -Z_{31} - 0.5Z_{42}$ .



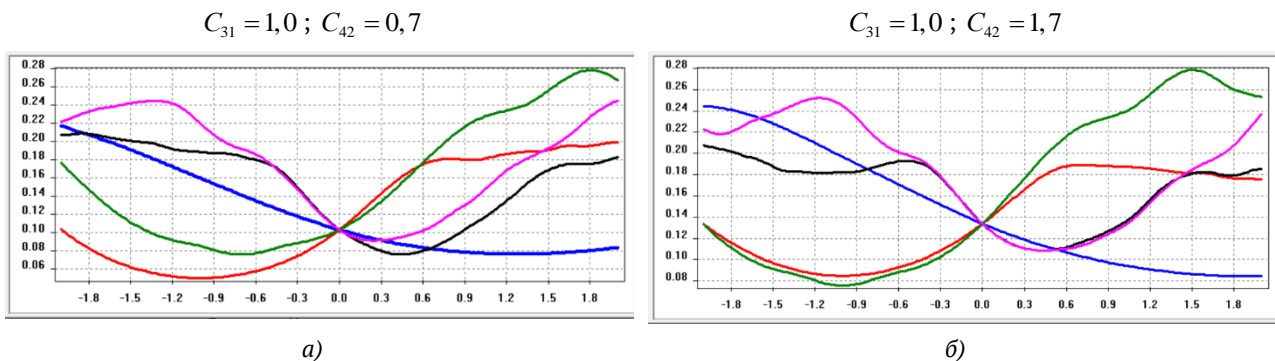
**Рис. 6.** График зависимости момента  $F[G(x, y)]$  (11) от величины  $D_{pq}$  и типа  $(p, q)$  добавленной аберрации к возмущённому входному полю  $F_0(r, \varphi)$ . Обозначения типов аберраций  $(p, q)$ :  
(2,2) – синим, (3,1) – красным, (4,2) – зелёным, (5,1) – чёрным

На рис. 6 видно, что момент для исходного поля  $F_0(r, \varphi)$  с суперпозицией  $S_0(r, \varphi) = -Z_{31} - 0.5Z_{42}$  достигает минимального значения  $F_{min1}[G(x, y)] = 0.03$  после добавления одной аберрации типа  $(p, q) = (3, 1)$  с весовым коэффициентом  $-D_{pq} = -1.0$ . Следующий по величине минимальный момент  $F_{min2}[G(x, y)]$  удаётся достигнуть при добавлении только аберрации  $S_1(r, \varphi) = -0.5Z_{51}$ , что объясняется наименьшей разностью индексов  $(p, q) = (5, 1)$  с индексами  $(n, m) = (3, 1)$ .

Также одной из аберраций, которая уменьшает исходный момент  $F_{null}[G(x, y)] = 0.1$  является аберрация из исходной суперпозиции  $S_0(r, \varphi)$  типа  $(p, q) = (4, 2)$  с весовым коэффициентом  $D_{pq} = -0.5$  и приблизительно равное значение момента достижимо при добавления одной аберрации типа  $(p, q) = (2, 2)$  с весовым коэффициентом  $D_{pq} = -1.0$  (объясняется наименьшей разностью индексов  $(p, q) = (2, 2)$  с индексами  $(n, m) = (4, 2)$ ).

Для верификации полученных результатов будем варьировать значение весовых коэффициентов  $C_{31}$  и  $C_{42}$  в исходной суперпозиции  $S_0(r, \varphi) = -C_{31}Z_{31} - C_{42}Z_{42}$  поля  $F_0(r, \varphi)$  и

рассчитаем момент  $F[G(x, y)]$  при разной величине  $D_{pq}$  и типе  $(p, q)$  добавленной aberrации  $S_1(r, \varphi)$ .



**Рис.7.** Графики зависимости момента  $F[G(x, y)]$  (11) от величины  $D_{pq}$  и типа  $(p, q)$  добавленной aberrации к возмущённому входному полю  $F_0(r, \varphi)$  с суперпозицией aberrаций  $S_0(r, \varphi) = -C_{31}Z_{31} - C_{42}Z_{42}$ : (а) –  $C_{31} = 1.0$  и  $C_{42} = 0.7$ ; (б) –  $C_{31} = 1.0$  и  $C_{42} = 1.0$ ; Обозначения типов aberrаций  $(p, q)$ : (2,2) – синим, (3,1) – красным, (4,2) – зелёным, (5,1) – чёрным, (6,2) – розовым

В ряде численных экспериментов определено (рис. 7а), что момент  $F_{null}[G(x, y)] = 0.1$  для исходного поля  $F_0(r, \varphi)$  с суперпозицией  $S_0(r, \varphi) = -Z_{31} - 0.7Z_{42}$  достигает минимального значения  $F_{min}[G(x, y)] = 0.05$  после добавления одной aberrации типа  $(p, q) = (3, 1)$  с весовым коэффициентом  $D_{pq} = -1.0$ . Добавление aberrаций  $Z_{22}$ ,  $Z_{42}$ ,  $Z_{51}$  также позволяют снизить значение момента и достигнуть приблизительно одинаковые минимальные значения, но больше  $F_{min}[G(x, y)] = 0.05$  более чем в 1.4 раз. Добавление aberrаций  $Z_{62}$  также позволяют снизить значение момента, но больше  $F_{min}[G(x, y)] = 0.05$  более чем в 1,8 раз.

Из распределения значений моментов для исходного поля  $F_0(r, \varphi)$  с суперпозицией  $S_0(r, \varphi) = -Z_{31} - Z_{42}$  видно (рис. 7б), что наименьшее значение  $F_{min}[G(x, y)] = 0.07$  достигается за счёт добавления aberrации  $Z_{42}$ , которая входит в исходную суперпозицию  $S_0(r, \varphi)$ . Следующие aberrации с точки зрения эффективности уменьшения исходного момента  $F_{null}[G(x, y)] = 0.13$  являются  $Z_{22}$  и  $Z_{31}$ . Они позволяют достигнуть приблизительно одинаковые значения моментов, которые больше минимума  $F_{min}[G(x, y)] = 0.07$  в 1,2 раза.

Дополнение aberrаций типа  $Z_{51}$  или  $Z_{62}$  также позволяют снизить значение момента и достигнуть приблизительно одинаковые минимальные значения, но больше  $F_{min}[G(x, y)] = 0.07$  более чем в 1,5 раза.

Таким образом, для поля, заданного суперпозицией из нескольких aberrации верно утверждение, что существует целый набор aberrаций, уменьшающих момент, но aberrация, уменьшающая момент наибольшим образом, входит в исходную суперпозицию. Стоит отметить, что в случае одиночной и суперпозицией aberrаций большое количество

компенсирующих aberrаций не уменьшают момент, а только увеличивают его. С ростом числа aberrаций в исходной суперпозиции число таких aberrаций уменьшается.

#### Заключение

Реализован метод моментов для алгоритмизации компенсации aberrаций на основе многоканального дифракционного оптического элемента, согласованного с базисом функций Цернике. В качестве функционала предложено использование второго центрального момента интенсивности фокального изображения. Проведено исследование второго центрального момента для случая одиночной aberrации или суперпозиции aberrаций. Получено, что для поля, заданного суперпозицией из нескольких aberrации верно утверждение: «Существует целый набор aberrаций, уменьшающих момент, но aberrация, уменьшающая момент наибольшим образом, входит в исходную суперпозицию».

Разработан итерационный алгоритм для определения типа  $(p, q)$  и веса  $D_{pq}$  компенсирующей суперпозиции aberrаций  $S_1(r, \varphi)$  на основе минимизации функционала  $F_{\min N}[G(x, y)]$  на каждом шаге  $N$ . Критерием выхода из итерационного алгоритма является минимизация момента до эталонного  $F_{\min}[G(x, y)]$ , соответствующего безaberrационному полю или ситуация, когда ни одна aberrация из набора  $\Omega(Z_{pq}, p \leq 7)$  не уменьшает момент.

Получено, что последовательное дополнение к компенсирующей суперпозиции aberrаций, наибольшим образом минимизирующих момент, позволяет решить задачу построения компенсирующей суперпозиции aberrаций из заранее заданного набора aberrаций.

Полученные результаты могут быть полезны при контроле качества формы оптических элементов, оценке погрешности при юстировке оптических систем, а также при проведении обследования на наличие и прогрессирование глазных заболеваний на ранних стадиях. Учитывая широкий диапазон корректно детектируемой величины aberrаций при помощи предложенного метода, основанного на согласовании фильтра с фазовыми функциями Цернике, областью применения может так же выступать измерение и коррекция aberrаций волнового фронта в системах оптической коммуникации и в промышленной лазерной технике.

#### Благодарность

Работа выполнена и опубликована за счет средств программы стратегического академического лидерства «Приоритет 2030».

#### Список источников

- [1] Lombardo M., Lombardo G., Serrao S. Interocular high-order corneal wavefront aberration symmetry // JOSA A. – 2006. – Т. 23. – №. 4. – С. 777-787.
- [2] Völkel R., Eisner M., Weible K. J. Miniaturized imaging systems // Microelectronic Engineering. – 2003. – Т. 67. – С. 461-472.
- [3] Camacho L. et al. Quantitative phase microscopy using defocusing by means of a spatial light modulator // Optics express. – 2010. – Т. 18. – №. 7. – С. 6755-6766.

- [4] Ellerbroek B. L., Vogel C. R. Inverse problems in astronomical adaptive optics // *Inverse Problems*. – 2009. – Т. 25. – №. 6. – С. 063001.
- [5] Thomas S. A simple turbulence simulator for adaptive optics // *Advancements in Adaptive Optics*. – SPIE, 2004. – Т. 5490. – С. 766-773.
- [6] Takeda M. Fourier fringe analysis and its application to metrology of extreme physical phenomena: a review // *Applied Optics*. – 2013. – Т. 52. – №. 1. – С. 20-29.
- [7] Platt B. C., Shack R. History and principles of Shack-Hartmann wavefront sensing // *Journal of refractive surgery*. – 2001. – Т. 17. – №. 5. – С. S573-S577.
- [8] Liang R., Erwin J. K., Mansuripur M. Variation on Zernike's phase-contrast microscope // *Applied optics*. – 2000. – Т. 39. – №. 13. – С. 2152-2158.
- [9] Rivenson Y. et al. Phase recovery and holographic image reconstruction using deep learning in neural networks // *Light: Science & Applications*. – 2018. – Т. 7. – №. 2. – С. 17141-17141.
- [10] Ha Y. et al. Diffractive optical element for Zernike decomposition // *Current Developments in Optical Elements and Manufacturing*. – SPIE, 1998. – Т. 3557. – С. 191-197.
- [11] Porfirev A. P., Khonina S. N. Experimental investigation of multi-order diffractive optical elements matched with two types of Zernike functions // *Optical Technologies for Telecommunications 2015*. – SPIE, 2016. – Т. 9807. – С. 106-114.
- [12] Born M., Wolf E. *Principles of optics: electromagnetic theory of propagation, interference and diffraction of light*. – Elsevier, 2013.
- [13] Neil M. A. A., Booth M. J., Wilson T. New modal wave-front sensor: a theoretical analysis // *JOSA A*. – 2000. – Т. 17. – №. 6. – С. 1098-1107.
- [14] Khorin P. A., Volotovskiy S. G., Khonina S. N. Optical detection of values of separate aberrations using a multi-channel filter matched with phase Zernike functions // *Computer Optics*. – 2021. – Т. 45. – №. 4. – С. 525-533.
- [15] Венедиктов В. Ю. и др. Голографические датчики волнового фронта // *Квантовая электроника*. – 2020. – Т. 50. – №. 7. – С. 614-622.
- [16] Khorin P. A. Iterative algorithm for wavefront correction based on optical decomposition in wave aberrations // *2021 International Conference on Information Technology and Nanotechnology (ITNT)*. – IEEE, 2021. – С. 1-6.
- [17] Volotovskiy S. G., Karpeev S. V., Khonina S. N. Algorithm for reconstructing complex coefficients of Laguerre-Gaussian modes from the intensity distribution of their coherent superposition // *Computer Optics*. – 2020. – Т. 44. – №. 3. – С. 352-362. DOI: 10.18287/2412-6179-CO-727.

# The moment method application to wavefront aberrations compensation

*P. A. Khorin<sup>1,2</sup>, S. G. Volotovskiy<sup>2</sup>, P. A. Vechkanova<sup>1</sup>, S. N. Khonina<sup>1,2</sup>*

<sup>1</sup> Samara National Research University, Samara 443086, Russia

<sup>2</sup> Image Processing Systems Institute of RAS—Branch of the FSRC “Crystallography and Photonics” RAS, Samara 443001, Russia.

The method of moments has been developed for the algorithmization of aberration compensation based on a diffractive optical element matched to the basis of Zernike functions. The use of the second central moment of the focal image intensity is proposed as a functional. The study of the second central moment for the superposition of aberrations has been carried out. It is found that the achievement of the reference value of the second moment can serve as a sign of the end of the aberration compensation.

*Keywords:* Wave aberrations, Method of moments, Compensation, Diffractive optics.